

欧前胡素调节HMGB1-RAGE-NF-κB信号通路 对高糖诱导的视网膜内皮细胞损伤的影响

马静¹ 王齐² 陈彩玲³ 谭丹丹³ 刘延东⁴ 王微微^{3*}

(¹黑龙江省医院护理教研室, 哈尔滨 150036; ²黑龙江省医院院办公室, 哈尔滨 150036;

³黑龙江省医院眼科, 哈尔滨 150036; ⁴黑龙江省医院中西医结合医疗中心, 哈尔滨 150036)

摘要 该研究探讨欧前胡素(IMP)调节高迁移率族蛋白B1(HMGB1)-晚期糖基化终产物受体(RAGE)-核转录因子κB(NF-κB)信号通路对高糖诱导的视网膜血管内皮细胞损伤的影响。使用10~320 μmol/L的IMP处理高糖诱导的视网膜血管内皮细胞hRECs, 筛选最佳药物浓度; 将视网膜血管内皮细胞hRECs细胞分为正常糖组(NG组, 5.5 mmol/L葡萄糖)、高糖组(HG组, 25 mmol/L葡萄糖)、低浓度欧前胡素组(IMP-L组, 25 mmol/L葡萄糖+20 μmol/L IMP)、中浓度欧前胡素组(IMP-M组, 25 mmol/L葡萄糖+40 μmol/L IMP)、高浓度欧前胡素组(IMP-H组, 25 mmol/L葡萄糖+80 μmol/L IMP)、高浓度欧前胡素+重组HMGB1蛋白组(IMP-H+rHMGB1组, 25 mmol/L葡萄糖+80 μmol/L IMP+200 μg/L rHMGB1)。CCK-8试剂盒检测hRECs细胞活性; 流式细胞仪检测hRECs细胞凋亡的情况; 管腔形成实验检测细胞血管生成; 酶联免疫吸附法(ELISA)检测细胞IL-6、肿瘤坏死因子-α(TNF-α)、白细胞介素-1β(IL-1β)、MDA水平和SOD水平; Western blot检测HMGB1-RAGE-NF-κB信号通路相关蛋白表达情况。结果显示, IMP可以促进高糖诱导的hRECs增殖, 且呈浓度依赖性, 选择浓度为20、40、80 μmol/L的IMP进行后续实验; 与NG组比较, HG组细胞存活率、SOD活性降低, 细胞凋亡率, 管腔形成数, IL-6、TNF-α、IL-1β、MDA水平及HMGB1、RAGE、NF-κB p65蛋白表达水平升高($P<0.05$); 与HG组比较, IMP-L组、IMP-M组、IMP-H组细胞存活率、SOD活性升高, 细胞凋亡率, 管腔形成数, IL-6、TNF-α、IL-1β、MDA水平及HMGB1、RAGE、NF-κB p65蛋白表达水平降低, 且呈浓度依赖性($P<0.05$); 与IMP-H组比较, IMP-H+rHMGB1组细胞存活率、SOD活性显著降低, 细胞凋亡率, 管腔形成数, IL-6、TNF-α、IL-1β、MDA水平及HMGB1、RAGE、NF-κB p65蛋白表达水平显著升高($P<0.05$)。结果表明, IMP可能通过抑制HMGB1-RAGE-NF-κB信号通路, 降低炎症反应和细胞凋亡水平, 进而减轻高糖诱导的视网膜血管内皮细胞损伤。

关键词 欧前胡素; 高迁移率族蛋白B1-晚期糖基化终产物受体-核转录因子κB; 高糖; 视网膜内皮细胞; 损伤

Effect of Imperatorin on High Glucose Induced Retinal Endothelial Cell Injury by Regulating the HMGB1-RAGE-NF-κB Signaling Pathway

MA Jing¹, WANG Qi², CHEN Cailing³, TAN Dandan³, LIU Yandong⁴, WANG Weiwei^{3*}

(¹Nursing Teaching and Research Office, Heilongjiang Provincial Hospital, Harbin 150036, China;

²Department of Hospital Office, Heilongjiang Provincial Hospital, Harbin 150036, China;

³Department of Ophthalmology, Heilongjiang Provincial Hospital, Harbin 150036, China;

⁴Heilongjiang Provincial Hospital Integrated Traditional Chinese and Western Medicine Medical Center, Harbin 150036, China)

收稿日期: 2024-06-19 接受日期: 2024-08-01

黑龙江省卫生健康委科研课题(批准号: 20231414050307)资助的课题

*通信作者。Tel: 18745688241, E-mail: zibeike2002@163.com

Received: June 19, 2024 Accepted: August 1, 2024

This work was supported by the Research Project of Heilongjiang Provincial Health Commission (Grant No.20231414050307)

*Corresponding author. Tel: +86-18745688241, E-mail: zibeike2002@163.com

Abstract This study investigated the effect of IMP (imperatorin) on high glucose induced retinal endothelial cell injury by regulating the HMGB1 (high-mobility group protein box 1)-RAGE (receptor for advanced glycation end products)-NF-κB (nuclear factor kappa-B) signaling pathway. High glucose induced hRECs in retinal endothelial cells were treated with IMP at a concentration of 10-320 μmol/L to screen for the optimal drug concentration. hRECs (human retinal endothelial cells) were separated into normal glucose group (NG group, 5.5 mmol/L glucose), high glucose group (HG group, 25 mmol/L glucose), low concentration imperatorin group (IMP-L group, 25 mmol/L glucose+20 μmol/L IMP), medium concentration imperatorin group (IMP-M group, 25 mmol/L glucose+40 μmol/L IMP), high concentration imperatorin group (IMP-H group, 25 mmol/L glucose+80 μmol/L IMP), and high concentration imperatorin+rHMGB1 protein group (IMP-H+rHMGB1 group, 25 mmol/L glucose+80 μmol/L IMP+200 μg/L rHMGB1). CCK-8 assay kit was applied to detect the activity of hRECs cells. Flow cytometry was applied to detect the apoptosis of hRECs cells. The cell angiogenesis was detected by the lumen formation test. ELISA (enzyme linked immunosorbent assay) was applied to detect levels of IL-6, TNF-α (tumor necrosis factor-α), IL-1β (interleukin-1β), MDA, and SOD in cells. Western blot was applied to detect the expression of proteins related to the HMGB1-RAGE-NF-κB signaling pathway. The results showed that IMP was able to promote the proliferation of high glucose induced hRECs in a concentration dependent manner, subsequently, IMP concentrations of 20, 40, and 80 μmol/L were selected for subsequent experiments. Compared with the NG group, the cell survival rate and SOD activity in the HG group were decreased; the apoptosis rate, the number of lumen formation, the levels of IL-6, TNF-α, IL-1β, MDA, and the expression of HMGB1, RAGE, NF-κB p65 proteins were increased ($P<0.05$). Compared with the HG group, the cell survival rate and SOD activity were increased in the IMP-L group, IMP-M group, and IMP-H group; the apoptosis rate, the number of lumen formation, the levels of IL-6, TNF-α, IL-1β, MDA, and the expression of HMGB1, RAGE, NF-κB p65 proteins were decreased and in a concentration dependent manner ($P<0.05$). Compared with the IMP-H group, the cell survival rate and SOD activity in the IMP-H+rHMGB1 group were significantly reduced; the apoptosis rate, the number of lumen formation, the levels of IL-6, TNF-α, IL-1β, MDA, and the expression of HMGB1, RAGE, NF-κB p65 proteins were significantly increased ($P<0.05$). The results suggest that IMP may reduce inflammatory response and cell apoptosis by inhibiting the HMGB1-RAGE-NF-κB signaling pathway, thereby alleviating high glucose induced injury to retinal endothelial cells.

Keywords imperatorin; high-mobility group protein box 1-receptor for advanced glycation end products-nuclear factor kappa-B; high glucose; retinal endothelial cells; injury

随着人们生活水平的提高以及饮食习惯的改变, 糖尿病(diabetic mellitus, DM)的发病率不断增加, 而糖尿病视网膜病变(diabetic retinopathy, DR)是DM在临幊上常见的并发症, 对成年人的视力造成严重影响, 并缺乏比较有效的治疗手段^[1-2]。已有相关研究发现, DR发生的一个原因是人视网膜血管内皮细胞(human retinal endothelial cells, hRECs)功能障碍, 持续性的高糖刺激会一定程度增加活性氧水平, 诱导氧化应激以及炎症反应的发生, 并对血管屏障造成一定的损伤, 最终导致hRECs细胞的凋亡以及损伤^[3]。同时, 视网膜新生血管已被确定为DR患者严重视力恶化的关键危险因素^[4]。因此, 控

制高糖诱导的新生血管形成、探究减轻hRECs细胞损伤的机制, 对于临幊治疗DR具有重要意义。欧前胡素(imperatorin, IMP)是从中草药中分离提纯得到的一种活性成分, 是具有多种生物活性的呋喃香豆素, 具有抗菌、抗炎、平喘及抗过敏等作用^[5-6]。MA等^[7]研究发现, IMP对炎症疾病具有一定的治疗以及防御的功能。既往研究显示, IMP能够抑制DM大鼠的高血糖^[8]。故本研究推测IMP可能对DR进展有影响。高迁移率族蛋白B1(high-mobility group protein box 1, HMGB1)/晚期糖基化终产物受体(receptor for advanced glycation end products, RAGE)/核转录因子κB(nuclear factor kappa-B, NF-κB)信号通路是

参与调节炎症反应以及细胞应激的重要通路^[9]。研究发现,在糖尿病的慢性炎症中, HMGB1-RAGE信号通路发挥重要作用^[10]。近期研究表明, HMGB1-RAGE信号通路在DM和DR大鼠中被抑制^[11-12]。故本研究推测IMP可能通过调节HMGB1-RAGE-NF-κB信号通路影响DR发展。因此,本研究主要探讨IMP调节HMGB1-RAGE-NF-κB信号通路对高糖诱导的视网膜内皮细胞损伤的影响。

1 材料与方法

1.1 实验细胞

视网膜内皮细胞hRECs(货号: XY-XB-1310)从上海烜雅生物科技有限公司购买。

1.2 主要试剂与仪器

DMEM培养基(货号: EVU301)购自北京孚博科技有限公司; IMP(货号: WKQ-0000413)购自四川省维克奇生物科技有限公司; 重组HMGB1(recombinant HMGB1, rHMGB1)蛋白(货号: 10326-H07E)购自北京义翘神州科技股份有限公司; 细胞计数试剂盒8(cell counting kit-8, CCK-8)(货号: 96992-100TESTS-F)购自上海益启生物科技有限公司; Annexin V-FITC/PI细胞凋亡检测试剂盒(货号: C00007-100)购自广州威佳科技有限公司; BCA试剂盒(货号: 701780-480)购自艾美捷科技有限公司; IL-6酶联试剂盒(enzyme linked immunosorbent assay, ELISA)(货号: ZK-H2101)、肿瘤坏死因子-α(tumor necrosis factor-α, TNF-α) ELISA试剂盒(货号: ZK-R3838)购自深圳子科生物科技有限公司; 白细胞介素-1β(interleukin-1β, IL-1β) ELISA试剂盒(货号: KJEIA0001D)购自北京康佳宏原生物科技有限公司; HMGB1、RAGE、NF-κB p65、GAPDH抗体(货号: ab92310、ab228861、ab32536、ab128915)购自英国Abcam公司; CO₂细胞培养箱(型号: CellXpert)购自德国Eppendorf公司; 凝胶成像仪(型号: ZF-208)购自上海金鹏分析仪器有限公司; 显微镜(型号: DMi1)购自美国Cytek Biosciences公司等。

1.3 细胞培养与分组

1.3.1 细胞培养 将冻存的hRECs细胞取出来,放在37 °C的培养箱中进行融化,将融化后的细胞4 °C、3 000 r/min离心5 min,将下层的细胞收集起来,加入到DMEM培养基(含10%胎牛血清)中,放入37 °C、5% CO₂的细胞培养箱中进行常规传代培养,当细胞增

长到对数期时,进行细胞收集用于后续的实验。

1.3.2 药物浓度筛选 收集各组hRECs细胞并进行消化,并将其接种在96孔板(1×10⁵个/孔)中,培养24 h,加入25 mmol/L^[13]葡萄糖培养细胞,在选定的孔中加入不同浓度的IMP(0、10、20、40、80、160 μmol/L)培养基培养,以25 mmol/L葡萄糖和0 μmol/L IMP处理的细胞作为高糖组(HG组),另以5.5 mmol/L葡萄糖培养的细胞作为正常糖组(NG组)。24 h后,向每个孔中加入10 μL CCK-8溶液,37 °C下孵育4 h,对各个孔450 nm处的吸光度(D)值进行检测,并计算细胞存活率(%)。

1.3.3 细胞分组 共将细胞分为6组。①NG组:加入5.5 mmol/L葡萄糖培养细胞;②HG组:加入25 mmol/L葡萄糖培养细胞;③低浓度欧前胡素组(IMP-L组):25 mmol/L葡萄糖+20 μmol/L IMP共同培养细胞;④中浓度欧前胡素组(IMP-M组):25 mmol/L葡萄糖+40 μmol/L IMP共同培养细胞;⑤高浓度欧前胡素组(IMP-H组):25 mmol/L葡萄糖+80 μmol/L IMP共同培养细胞;⑥高浓度欧前胡素+重组HMGB1蛋白组(IMP-H+rHMGB1组):25 mmol/L葡萄糖+80 μmol/L IMP+200 μg/L rHMGB1共同培养细胞。待收集培养48 h的各组细胞进行后续研究。

1.3.4 流式细胞仪检测hRECs细胞凋亡情况 各组hRECs细胞经过48 h的培养后,用胰蛋白酶37 °C消化3 min,收集细胞悬液,用预冷的PBS对其进行洗涤,3 000 r/min、4 °C离心5 min去上清,在细胞沉淀中加入结合缓冲液对细胞浓度进行调整。再分别加入Annexin V-FITC和PI,室温避光反应15 min,借助流式细胞仪对细胞凋亡率进行检测。

1.3.5 管腔形成实验检测细胞血管生成情况 细胞(2×10⁵个/孔)接种到涂有Matrigel的96孔板上。按照1.3.2的方法培养48 h。然后,用倒置显微镜进行成像。利用ImageJ软件计数管腔形成数。

1.3.6 ELISA检测IL-6、TNF-α、IL-1β、MDA和SOD水平 收集各组hRECs细胞,4 °C、3 000 r/min离心10 min,离心后收集上清,将其置于-80 °C冰箱进行保存,并采用ELISA方法检测450 nm处的吸光度(D)值,并计算上清液中IL-6、TNF-α、IL-1β、MDA和SOD水平,其实验操作步骤完全按照试剂盒的说明书进行。

1.3.7 Western blot检测细胞中HMGB1-RAGE-NF-κB信号通路蛋白表达情况 对在不同条件下培养

的各组 hRECs 细胞进行收集, 加入一定量的蛋白裂解液反应 30 min, 提取各组细胞总蛋白, 并利用 BCA 试剂盒对蛋白总量进行测定。分别配置不同浓度的分离胶和浓缩胶进行 SDS-PAGE 凝胶电泳, 将蛋白凝胶转至 PVDF 膜上, 在冰上反应 1 h, 再用 TBST 溶液清洗, 加入 5% 脱脂奶粉, 室温封闭 1 h, 封闭后经 TBST 溶液清洗, 分别加入一抗 HMGB1、RAGE、NF-κB p65 和 GAPDH(均 1:1 000 稀释) 4 °C 过夜, 加入 TBST 溶液洗涤; 加入二抗(1:5 000 稀释), 室温孵育 2 h, 加入 TBST 溶液洗涤。用 ECL 试剂显影, 用定影液定影后晾干, 利用凝胶成像仪观察各个蛋白的表达情况, 并以 GAPDH 为内参。最后用 ImageJ 软件进行定量。

1.4 统计学分析

对实验数据的处理采用 SPSS 25.0 统计软件进行。计量资料用 ($\bar{x} \pm s$) 表示, 各组(如 IMP-L 组、IMP-M 组、IMP-H 组等)间比较采用 *F* 检验, 组间两两比较采用 LSD-*t* 检验。*P*<0.05 为差异有统计学意义。

2 结果

2.1 IMP 对高糖诱导的 hRECs 细胞增殖的影响

与 NG 组比较, HG 组的细胞存活率降低(*P*<0.05); 与 HG 比较, 20~160 μmol/L 的 IMP 可以显著促进 hRECs 细胞的增殖, 选择浓度为 20、40、80 μmol/L 的 IMP 进行后续实验(表 1)。

2.2 IMP 对 hRECs 细胞凋亡的影响

与 NG 组比较, HG 组的晚期凋亡率、早期凋亡率及总凋亡率增加(*P*<0.05); 与 HG 组比较, IMP-L 组、IMP-M 组、IMP-H 组晚期凋亡率、早期凋亡率

及总凋亡率均降低(*P*<0.05); 与 IMP-H 组比较, IMP-H+rHMGB1 组的晚期凋亡率、早期凋亡率及总凋亡率显著增加(*P*<0.05)(图 1 和表 2)。这表明 IMP 能够抑制 HG 诱导的 hRECs 细胞凋亡。

2.3 IMP 对 hRECs 细胞血管生成的影响

与 NG 组比较, HG 组的管腔形成数增加(*P*<0.05); 与 HG 组比较, IMP-L 组、IMP-M 组、IMP-H 组管腔形成数均降低(*P*<0.05); 与 IMP-H 组比较, IMP-H+rHMGB1 组的管腔形成数显著增加(*P*<0.05)(图 2 和表 3)。这表明 IMP 能够抑制 HG 诱导的 hRECs 细胞新生血管生成。

2.4 IMP 对高糖诱导的 hRECs 细胞中 IL-6、TNF-α、IL-1β 的影响

与 NG 组比较, HG 组的 IL-6、TNF-α、IL-1β 表达水平升高(*P*<0.05); 与 HG 组比较, IMP-L 组、IMP-M 组、IMP-H 组 IL-6、TNF-α、IL-1β 表达水平降低(*P*<0.05); 与 IMP-H 组比较, IMP-H+rHMGB1 组的 IL-6、TNF-α、IL-1β 表达水平显著增加(*P*<0.05)(表 4)。这表明 IMP 能够抑制 HG 诱导的 hRECs 细胞中炎症因子的表达。

2.5 IMP 对高糖诱导的 hRECs 细胞氧化应激的影响

与 NG 组比较, HG 组的 SOD 活性降低、MDA 水平升高(*P*<0.05); 与 HG 组比较, IMP-L 组、IMP-M 组、IMP-H 组 SOD 活性升高、MDA 水平降低(*P*<0.05); 与 IMP-H 组比较, IMP-H+rHMGB1 组的 SOD 活性降低、MDA 水平升高(*P*<0.05)(表 5)。这表明 IMP 能够抑制 HG 诱导的 hRECs 细胞氧化应激。

2.6 IMP 对 hRECs 细胞中 HMGB1-RAGE-NF-κB 信号通路的影响

与 NG 组比较, HG 组的 HMGB1、RAGE、NF-κB

表 1 hRECs 细胞存活率比较

Table 1 Comparison of hRECs cell survival rate

组别 Groups	24 h 的细胞存活率/% Cell survival rate of 24 h /%
NG	100.00±2.68
HG	60.35±3.95*
20 μmol/L IMP	58.32±3.86
40 μmol/L IMP	72.32±4.16 [#]
80 μmol/L IMP	80.31±5.72 [#]
160 μmol/L IMP	93.46±4.61 [#]
	95.64±4.60 [#]

**P*<0.05, 与 NG 组比较; [#]*P*<0.05, 与 HG 组比较。

**P*<0.05 compared with NG group; [#]*P*<0.05 compared with HG group.

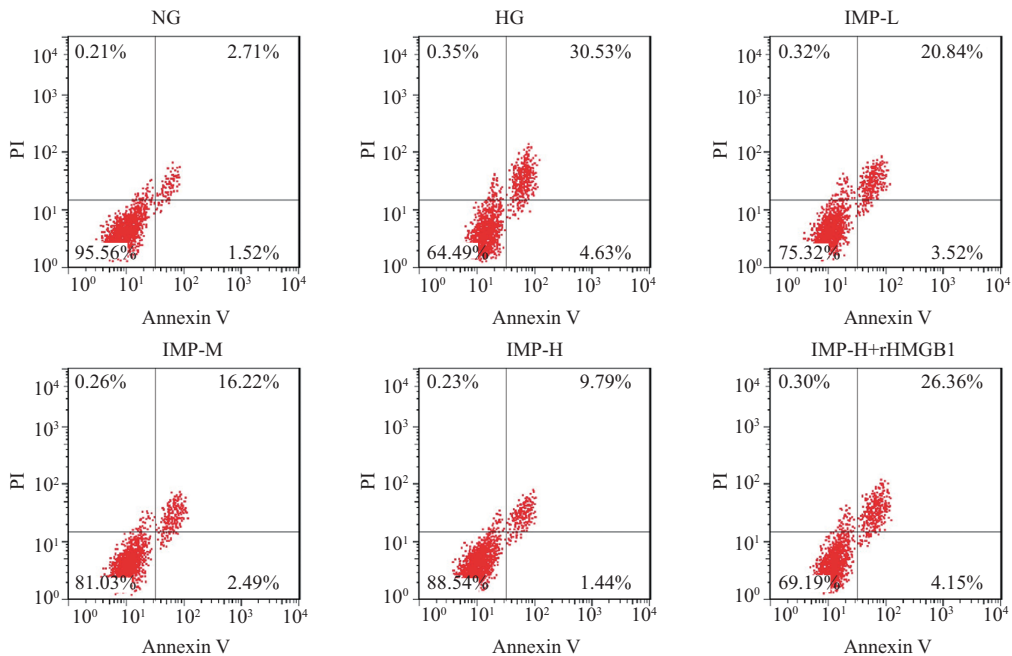


图1 流式细胞术检测细胞凋亡

Fig.1 Apoptosis was detected by flow cytometry

表2 IMP对hRECs细胞凋亡的影响

Table 2 Effects of IMP on apoptosis of hRECs

组别 Groups	晚期凋亡率/% Late apoptosis rate /%	早期凋亡率/% Early apoptosis rate /%	总凋亡率/% Total apoptosis rate /%
NG	2.71±0.69	1.52±0.40	4.23±1.09
HG	30.53±2.89*	4.63±0.83*	35.16±2.35*
IMP-L	20.84±1.52 [#]	3.52±0.69 [#]	24.36±2.26 [#]
IMP-M	16.22±1.03 ^{#&}	2.49±0.51 ^{#&}	18.71±1.17 ^{#&}
IMP-H	9.79±1.27 ^{#&▼}	1.44±0.32 ^{#&▼}	11.23±1.13 ^{#&▼}
IMP-H+rHMGB1	26.36±1.79 [@]	4.15±0.87 [@]	30.51±3.32 [@]

*P<0.05, 与NG组比较; [#]P<0.05, 与HG组比较; [&]P<0.05, 与IMP-L组比较; [▼]P<0.05, 与IMP-M组比较; [@]P<0.05, 与IMP-H组比较。

*P<0.05 compared with NG group; [#]P<0.05 compared with HG group; [&]P<0.05 compared with IMP-L group; [▼]P<0.05 compared with IMP-M group; [@]P<0.05 compared with IMP-H group.

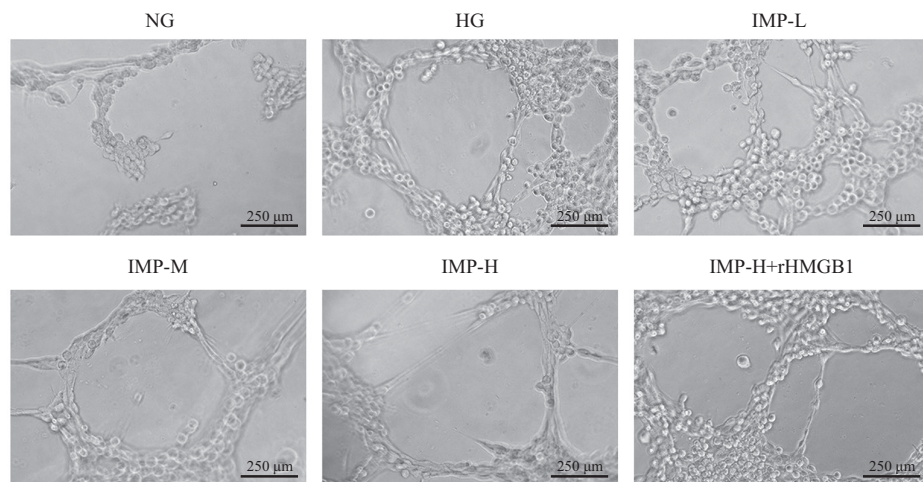


图2 管腔形成实验检测细胞血管生成

Fig.2 Cell angiogenesis was detected by lumen formation assay

表3 IMP对hRECs细胞血管生成的影响
Table 3 Effects of IMP on angiogenesis of hRECs

组别 Groups	管腔形成数 Number of lumen formation
NG	35.23±3.12
HG	124.31±10.41*
IMP-L	101.92±9.23 [#]
IMP-M	79.14±8.06 ^{#&}
IMP-H	54.63±5.24 ^{#&▼}
IMP-H+rHMGB1	115.46±9.67 [@]

*P<0.05, 与NG组比较; *P<0.05, 与HG组比较; [#]P<0.05, 与IMP-L组比较; [▼]P<0.05, 与IMP-M组比较; [@]P<0.05, 与IMP-H组比较。

*P<0.05 compared with NG group; [#]P<0.05 compared with HG group; [#]P<0.05 compared with IMP-L group; [▼]P<0.05 compared with IMP-M group; [@]P<0.05 compared with IMP-H group.

表4 IMP对高糖诱导的hRECs细胞IL-6、TNF-α、IL-1β的影响
Table 4 Effects of IMP on IL-6, TNF-α, IL-1β in high-glucose induced hRECs

组别 Groups	IL-6 /ng·L ⁻¹	TNF-α /ng·L ⁻¹	IL-1β /pg·mL ⁻¹
NG	7.92±0.82	8.99±0.92	23.95±2.61
HG	30.06±2.31*	35.05±3.25*	166.37±17.25*
IMP-L	20.75±2.81 [#]	20.24±2.14 [#]	124.37±13.16 [#]
IMP-M	15.92±1.63 ^{#&}	13.08±1.49 ^{#&}	70.42±8.24 ^{#&}
IMP-H	11.05±1.27 ^{#&▼}	7.15±1.81 ^{#&▼}	41.35±4.36 ^{#&▼}
IMP-H+rHMGB1	20.40±2.16 [@]	17.64±1.32 [@]	113.29±12.07 [@]

*P<0.05, 与NG组比较; *P<0.05, 与HG组比较; [#]P<0.05, 与IMP-L组比较; [▼]P<0.05, 与IMP-M组比较; [@]P<0.05, 与IMP-H组比较。

*P<0.05 compared with NG group; [#]P<0.05 compared with HG group; [#]P<0.05 compared with IMP-L group; [▼]P<0.05 compared with IMP-M group;

[@]P<0.05 compared with IMP-H group.

表5 IMP对高糖诱导的hRECs细胞氧化应激的影响
Table 5 Effects of IMP on oxidative stress of hRECs induced by high glucose

组别 Groups	SOD /U·L ⁻¹	MDA /nmol·mL ⁻¹
NG	213.26±22.15	107.26±11.27
HG	67.15±7.14*	507.23±51.02*
IMP-L	86.23±8.36 [#]	416.27±42.37 [#]
IMP-M	136.27±14.27 ^{#&}	315.26±32.14 ^{#&}
IMP-H	198.72±20.15 ^{#&▼}	154.22±16.33 ^{#&▼}
IMP-H+rHMGB1	76.59±8.69 [@]	462.31±47.15 [@]

*P<0.05, 与NG组比较; *P<0.05, 与HG组比较; [#]P<0.05, 与IMP-L组比较; [▼]P<0.05, 与IMP-M组比较; [@]P<0.05, 与IMP-H组比较。

*P<0.05 compared with NG group; [#]P<0.05 compared with HG group; [#]P<0.05 compared with IMP-L group; [▼]P<0.05 compared with IMP-M group; [@]P<0.05 compared with IMP-H group.

p65蛋白水平升高($P<0.05$); 与HG组比较, IMP-L组、IMP-M组、IMP-H组HMGB1、RAGE、NF-κB p65蛋白水平均降低($P<0.05$); 与IMP-H组比较, IMP-H+rHMGB1组的HMGB1、RAGE、NF-κB p65蛋白水平显著升高($P<0.05$)(图3和表6)。这表明IMP能够抑制HG诱导的hRECs细胞HMGB1-RAGE-NF-κB信号通路激活。

3 讨论

DR是DM的主要并发症之一, 据相关研究发现, DR的发生受到氧化应激等多种机制的调控^[14]。已有研究发现, 在整个DR病理的进展中, 内皮细胞损伤发挥着关键性的作用^[15]。据相关研究发现, 内皮细胞长期处于高糖状态下, 内皮细胞的活性会受到一定的抑制, 并且这会诱导内皮损伤的加剧^[16]。

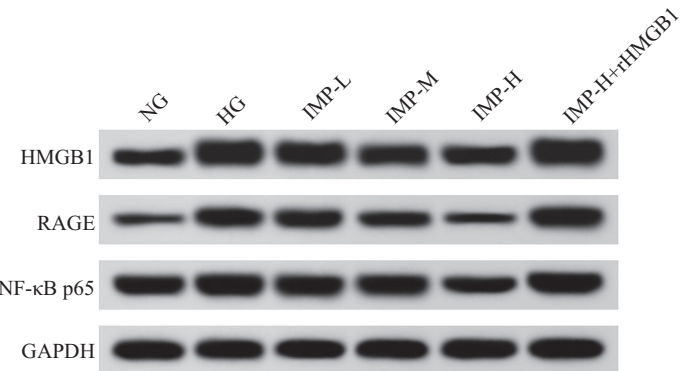


图3 Western blot检测hRECs细胞中HMGB1、RAGE、NF-κB p65蛋白表达

Fig.3 Western blot analysis of HMGB1, RAGE, NF-κB p65 protein expression in hRECs

表6 各组hRECs细胞中HMGB1-RAGE-NF-κB信号通路相关蛋白水平

Table 6 Levels of protein associated with HMGB1-RAGE-NF-κB signaling pathway in each group of hRECs

组别 Groups	HMGB1/GAPDH	RAGE/GAPDH	NF-κB p65/GAPDH
NG	0.57±0.06	0.21±0.03	0.72±0.08
HG	1.65±0.17*	0.83±0.09*	1.32±0.14*
IMP-L	1.36±0.14#	0.62±0.07#	1.11±0.12#
IMP-M	1.01±0.11##&	0.44±0.05##&	0.83±0.09##&
IMP-H	0.66±0.07##▼	0.24±0.03##▼	0.53±0.06##▼
IMP-H+rHMGB1	1.53±0.16@	0.75±0.08@	1.16±0.12@

*P<0.05, 与NG组比较; #P<0.05, 与HG组比较; &P<0.05, 与IMP-L组比较; ▼P<0.05, 与IMP-M组比较; @P<0.05, 与IMP-H组比较。

*P<0.05 compared with NG group; #P<0.05 compared with HG group; &P<0.05 compared with IMP-L group; ▼P<0.05 compared with IMP-M group; @P<0.05 compared with IMP-H group.

DUAN等^[17]研究发现,暴露于高糖环境下的内皮细胞,其增殖活性受到抑制,但其迁移能力增强。此外,视网膜血管生成是DR发病的重要机制。RECs对视网膜屏障起重要作用,可感知血糖变化,高糖刺激视网膜血管生成可加速糖尿病视网膜病变^[18]。因此,通过探究减轻视网膜血管内皮细胞损伤的机制,可以为DR的治疗提供一种新的方向。本研究结果显示,与NG组比较, HG组细胞存活率降低,细胞凋亡率和管腔形成数升高,提示高糖环境会损伤视网膜血管内皮细胞。

IMP是从中草药中提取得到的,具有毒性低、活性强的优点。相关研究发现,IMP在糖尿病肾损伤以及相关炎症反应中发挥重要作用^[19]。LIAO等^[20]研究发现,IMP在血管性痴呆中发挥抗氧化的作用。近期研究显示,含IMP的生肌化瘀方能够促进糖尿病大鼠创面愈合^[21]。据相关研究表明,IL-1β、IL-6和TNF-α的水平与机体的炎症有关,它们的水平高低可以反映细胞或者组织的损伤程度^[22-23]。SOD是清除氧自由基的内源性抗氧化剂,其水平是机体

氧化应激水平的标志物^[24]。MDA是脂质过氧化产物,其水平高低可以反映细胞氧化应激水平^[25]。本研究结果显示,与HG组比较,IMP-L组、IMP-M组、IMP-H组细胞存活率、SOD活性升高,细胞凋亡率,管腔形成数,IL-6、TNF-α、IL-1β、MDA表达水平降低,表明IMP可以促进视网膜血管内皮细胞增殖,抑制细胞凋亡、血管生成、炎症反应与氧化应激,且具有浓度依赖性。

HMGB1是一种分泌蛋白,可以对其信号通路的下游进行激活,从而促进炎症因子的释放^[26]。研究发现,HMGB1可以和RAGE相结合,从而介导其信号通路下游蛋白的磷酸化,进一步诱导神经损伤的发生^[27]。NF-κB是重要的炎症反应调控因子,在相关炎症(如骨关节炎)的发生发展过程中发挥重要作用^[28]。已有相关研究发现,通过抑制NF-κB信号通路可以在一定程度上减少炎症因子的释放,进一步减缓炎症反应以及氧化过程^[29]。研究发现,NF-κB p65是NF-κB的转录活性形式^[30]。研究发现,抑制HMGB1-RAGE-NF-κB活化能够减轻DR大鼠视网膜炎症^[31],

且抑制NF-κB信号通路, 可促进高糖诱导的hRECs细胞增殖^[32]。本研究发现, IMP处理高糖诱导的hRECs细胞后, HMGB1、RAGE、NF-κB p65蛋白水平显著降低, 提示IMP可能通过调控HMGB1-RAGE-NF-κB信号通路来发挥作用。为验证该通路的作用, 本研究进一步用重组HMGB1蛋白和高浓度IMP共同处理高糖诱导的hRECs细胞, 结果发现rHMGB1促进HMGB1、RAGE、NF-κB p65蛋白表达, 并逆转高糖条件下IMP对hRECs细胞凋亡的抑制作用, 提示IMP可能通过抑制HMGB1-RAGE-NF-κB信号通路, 减轻高糖诱导的视网膜血管内皮细胞损伤。

综上所述, IMP可能通过抑制HMGB1-RAGE-NF-κB信号通路, 降低炎症反应和氧化应激水平, 进而减轻高糖诱导的视网膜血管内皮细胞损伤。这为新药的开发提供了一定的基础。但是本研究仅在细胞上进行了体外实验, 后续会进一步开展体内实验进行验证。

参考文献 (References)

- [1] CHELONI R, GANDOLFI S A, SIGNORELLI C, et al. Global prevalence of diabetic retinopathy: protocol for a systematic review and meta-analysis [J]. BMJ Open, 2019, 9(3): e22188.
- [2] FASELIS C, KATSIMARDOU A, IMPRIALOS K, et al. Microvascular complications of type 2 diabetes mellitus [J]. Curr Vasc Pharmacol, 2020, 18(2): 117-24.
- [3] ZHANG T H, HUANG C M, GAO X, et al. Gastrodin inhibits high glucose-induced human retinal endothelial cell apoptosis by regulating the SIRT1/TLR4/NF-κBp65 signaling pathway [J]. Mol Med Rep, 2018, 17(6): 7774-80.
- [4] ARRIGO A, ARAGONA E, BANDELLO F. VEGF-targeting drugs for the treatment of retinal neovascularization in diabetic retinopathy [J]. Ann Med, 2022, 54(1): 1089-111.
- [5] LI Y Z, CHEN J H, TSAI C F, et al. Anti-inflammatory property of IMP on alveolar macrophages and inflammatory lung injury [J]. J Nat Prod, 2019, 82(4): 1002-8.
- [6] 伍冠一, 陈佳好, 徐小丽, 等. 欧前胡素的中药源与药理作用研究进展[J]. 中医药导报(WU G Y, CHEN J Y, XU X L, et al. Research progress on botanical and pharmacological properties of imperatorin [J]. Guiding Journal of Traditional Chinese Medicine and Pharmacy), 2017, 23(20): 54-6.
- [7] MA T, LIU P, WEI J, et al. IMP alleviated endometriosis by inhibiting the activation of PI3K/Akt/NF-κB pathway in rats [J]. Life Sci, 2021, 274(1): 119291.
- [8] WANG L Y, CHENG K C, LI Y, et al. The dietary furocoumarin imperatorin increases plasma GLP-1 levels in type 1-like diabetic rats [J]. Nutrients, 2017, 9(11): 1192.
- [9] 冯玲玲, 杜鑫, 葛瑜, 等. 茜苈子水提液通过调控HMGB1/TLR4/NF-κB信号通路对LPS吸入性肺损伤新生大鼠的影响 [J]. 天津中医药大学学报(FENG L L, DU X, GE Y, et al. Effect of Semen Lepidii aqueous extract on neonatal rats with LPS inha-
- lation lung injury by regulating HMGB1/TLR4/NF-κB signaling pathway [J]. Journal of Tianjin University of Traditional Chinese Medicine), 2022, 41(3): 342-7.
- [10] CHEN X, MA J, KWAN T, et al. Blockade of HMGB1 attenuates diabetic nephropathy in mice [J]. Sci Rep, 2018, 8(1): 8319.
- [11] 韩莉花, 袁欣, 杨真儿, 等. 葛根知母药对调控HMGB1/RAGE/NF-κB通路改善糖尿病大鼠认知障碍 [J]. 中药药理与临床(HAN L H, YUAN X, YANG Z E, et al. Effect of puerariae lobatae radix-anemarrhenae rhizoma drug pair on improving cognitive impairment of diabetic rats through HMGB1/RAGE/NF-κB pathway [J]. Pharmacology and Clinics of Chinese Materia Medica), 2020, 36(1): 124-30.
- [12] 王雅清, 王勇, 刘永胜. 芦丁调控miR-155和HMGB1/RAGE通路对糖尿病视网膜病变大鼠炎性反应的影响 [J]. 陕西医学杂志(WANG Y Q, WANG Y, LIU Y S. Effect of rutin on inflammatory response in diabetic retinopathy rats by regulating miR-155 and HMGB1/RAGE pathway [J]. Shaanxi Medical Journal), 2024, 53(2): 184-8.
- [13] 周丽萍, 毛晓春, 李琴. miR-1908抑制高糖诱导的人视网膜血管内皮细胞系HRECs凋亡 [J]. 基础医学与临床(ZHOU L P, MAO X C, LI Q. miR-1908 inhibits apoptosis of high glucose-induced human retinal vascular endothelial cell line HRECs [J]. Basic and Clinical Medicine), 2020, 40(8): 1090-5.
- [14] 何东林, 贾明珍, 谭越月, 等. 房水IL-17、IL-23、TNF-α水平在糖尿病性视网膜病变诊断中的价值 [J]. 解放军医药杂志(HE D L, JIA M Z, TAN Y Y, et al. Values of aqueous humor IL-17, IL-23 and TNF-α levels in diagnosis of patients with diabetic retinopathy [J]. Medical & Pharmaceutical Journal of Chinese People's Liberation Army), 2021, 33(8): 62-5.
- [15] MRUGACZ M, BRYL A, ZORENA K, et al. Retinal vascular endothelial cell dysfunction and neuroretinal degeneration in diabetic patients [J]. J Clin Med, 2021, 10(3): 458.
- [16] WANG Z, LI Y, YAO J, et al. Selenoprotein S attenuates high glucose and/or ox-LDL-induced endothelium injury by regulating Akt/mTOR signaling and autophagy [J]. Int J Biochem Cell Biol, 2021, 141(1): 106111.
- [17] DUAN M X, ZHOU H, WU Q Q, et al. Andrographolide protects against HG-induced inflammation, apoptosis, migration, and impairment of angiogenesis via PI3K/AKT-eNOS signalling in HUVECs [J]. Mediators Inflamm, 2019, 2019(1): 6168340.
- [18] YANG Q, LI S, ZHOU Z, et al. Trimetazidine mitigates high glucose-induced retinal endothelial dysfunction by inhibiting PI3K/Akt/mTOR pathway-mediated autophagy [J]. Bioengineered, 2022, 13(3): 7515-27.
- [19] KUNDU S, GHOSH A, YADAV K S, et al. IMP ameliorates kidney injury in diabetic mice by regulating the TGF-β/Smad2/3 signaling axis, epithelial-to-mesenchymal transition, and renal inflammation [J]. Eur J Pharmacol, 2024, 963(1): 176250.
- [20] LIAO X, ZHANG Z, MING M, et al. IMP exerts antioxidant effects in vascular dementia via the Nrf2 signaling pathway [J]. Sci Rep, 2023, 13(1): 5595.
- [21] ZHANG J T, WU M F, MA M H, et al. Research on the wound healing effect of Shengji Huayu Formula ethanol extract-derived fractions in streptozotocin-induced diabetic ulcer rats [J]. BMC Complement Med Ther, 2023, 23(1): 67.
- [22] 刘意, 金湘东, 贾宝辉, 等. 石斛酚抑制高糖诱导的视网膜血管内皮细胞凋亡及炎症反应机制 [J]. 中国老年学杂志(LIU Y, JIN

- X D, JIA B H, et al. Dendrobium inhibits apoptosis and inflammation of retinal vascular endothelial cells induced by high glucose [J]. Chinese Journal of Gerontology), 2021, 41(5): 1085-8.
- [23] MCGINLEY A M, SUTTON C E, EDWARDS S C, et al. Interleukin-17A serves a priming role in autoimmunity by recruiting IL-1 β -producing myeloid cells that promote pathogenic T cells [J]. Immunity, 2020, 52(2): 342-56,e6.
- [24] JIANG S, CHEN X. HMGB1 siRNA can reduce damage to retinal cells induced by high glucose *in vitro* and *in vivo* [J]. Drug Des Devel Ther, 2017, 11(2): 783-95.
- [25] 马金兰, 王青, 牛浩宇. 延龄草苷通过上调miR-1247-3p表达减轻高糖诱导的视网膜血管内皮细胞损伤[J]. 实用医学杂志 (MA J L, WANG Q, NIU H Y. Trillin attenuates high glucose-induced retinal vascular endothelial cell injury by up-regulating expression of miR-1247-3p [J]. Journal of Practical Medicine), 2021, 37(11): 1397-402.
- [26] MEIHONG D, SCOTT M J, JIE F, et al. Location is the key to function: HMGB1 in sepsis and trauma-induced inflammation [J]. J Leukoc Biol, 2019, 106(1): 161-9.
- [27] WANG J X, XIN Y Y, CHU T T, et al. Dexmedetomidine attenuates perioperative neurocognitive disorders by suppressing hippocampal neuroinflammation and HMGB1/RAGE/NF- κ B signaling pathway [J]. Biomedicine Pharmacother, 2022, 150(1): 113006.
- [28] CHOI M C, JO J, PARK J, et al. NF- κ B signaling pathways in osteoarthritic cartilage destruction [J]. Cells, 2019, 8(7): 737-54.
- [29] HUANG F, YAO Y, WU J, et al. Curcumin inhibits gastric cancer-derived mesenchymal stem cells mediated angiogenesis by regulating NF- κ B/VEGF signaling [J]. Am J Transl Res, 2017, 9(12): 5538-47.
- [30] 王晓晨, 吉爱国. NF- κ B信号通路与炎症反应[J]. 生理科学进展 (WANG X C, JI A G. NF- κ B signaling pathway and inflammatory response [J]. Progress in Physiological Sciences), 2014, 45(1): 68-71.
- [31] SOHN E, KIM J, KIM C S, et al. Extract of polygonum cuspidatum attenuates diabetic retinopathy by inhibiting the high-mobility group box-1 (HMGB1) signaling pathway in streptozotocin-induced diabetic rats [J]. Nutrients, 2016, 8(3): 140.
- [32] 项彪, 潘颖喆, 谢安琪, 等. 姜黄素对高糖诱导的人视网膜血管内皮细胞增殖及VEGF和NF- κ B p65表达的抑制作用[J]. 国际眼科杂志(XIANG B, PAN Y Z, XIE A Q, et al. Inhibitory effect of curcumin on proliferation and expression of VEGF and NF- κ B p65 of HRCECs induced by high glucose [J]. International Eye Science), 2022, 22(5): 764-8.